УДК 535-14

ГЕНЕРАЦИЯ ТЕРАГЕРЦОВОГО ИЗЛУЧЕНИЯ АТОМНЫМИ СИСТЕМАМИ ПРИ РАЗЛИЧНЫХ ЗНАЧЕНИЯХ ОТНОШЕНИЯ ЧАСТОТ КОМПОНЕНТ ВОЗДЕЙСТВУЮЩИХ ЛВУХЧАСТОТНЫХ ЛАЗЕРНЫХ ПОЛЕЙ

© 2024 г. С. Ю. Стремоухов^{1, 2}*

Федеральное государственное бюджетное образовательное учреждение высшего образования «Московский государственный университет имени М.В. Ломоносова», Москва, Россия
 Федеральное государственное бюджетное учреждение «Национальный исследовательский центр «Курчатовский институт», Москва, Россия

*e-mail: sustrem@gmail.com
Поступила в редакцию 15.12.2023
После доработки 29.01.2024
Принята к публикации 26.02.2024

Исследована генерация терагерцового (ТГц) излучения атомными системами, взаимодействующими с фемтосекундными двухчастотными лазерными полями $(\omega_1+\omega_2)$, образованными фундаментальной гармоникой лазерного источника (ω_1) и излучением, частота которого варьировалась в широких пределах (ω_2) . Показано, что эффективность генерации ТГц излучения увеличивается при соотношении частот компонент двухчастотного поля $\begin{pmatrix} \omega_2 \\ \omega_1 \end{pmatrix}$, близком (но не равном) 2, при котором разность $|\omega_2-2\omega_1|$ соответствует ТГц диапазону. Численный эксперимент проведен для лазерных источников, длина волны которых варьировалась от ближнего до дальнего инфракрасного диапазона.

DOI: 10.31857/S0367676524060156, EDN: PGCKZW

ВВЕДЕНИЕ

Генерация терагерцового (ТГц) излучения — одно из наиболее интенсивно исследуемых эффектов, происходящих при нелинейно-оптическом преобразовании мощного лазерного излучения в среде. Существует множество методов генерации ТГц излучения: от отрыва обычной клейкой ленты (генерация ТГц излучения происходит за счет ее трибозаряда при отрыве с последующим разрядом) до движения релятивистских электронов в лазерах на свободных электронах [1—7]. Среди этого многообразия лазерные методы генерации занимают особое положение, поскольку позволяют получить когерентное излучение, формируя компактный настольный источник [8].

Одним из перспективных способов получения ТГц излучения является нелинейно-оптическое преобразование излучения лазерного источника при распространении в газовых средах. Получающееся ТГц излучение имеет чрезвычайно широкий спектр (от 0.2 ТГц до >30 ТГц) [7]. Этим методом можно получить ТГц импульсы напряженностью порядка МВ/см [9] с линейной [10, 11] или эллиптической поляризацией [12]. Учитывая указанные преимущества, в настоящее время проводятся теоретико-экспериментальные исследования, направленные на поиск оптимальных параметров лазерного источника и среды

взаимодействия с целью повышения эффективности генерации ТГц излучения [13]. В частности, одним из исследуемых параметров является соотношение частот компонент двухчастотного поля $\binom{\omega_2}{\omega_l}$. До недавнего времени считалось, что ТГц излучение может быть эффективно получено только при использовании двухчастотной схемы, в которой $\frac{\omega_2}{\omega_1} = 2$. Такое соотношение частот возникает естественным образом при прохождении излучения лазерного источника через нелинейно-оптический кристалл [14]. С развитием исследований в данной области появилось предположение, что и другие частотные соотношения могут быть использованы для эффективной генерации ТГц излучения [15]. С тех пор ведётся активный поиск (экспериментально [16] и численно [17—19]) оптимального соотношения между частотами для эффективной генерации ТГц излучения.

Настоящая работа посвящена теоретическому исследованию влияния параметра ω_2/ω_1 на эффективность генерации ТГц излучения атомными средами. Численные расчеты проведены для атома аргона и лазерных источников, длина волны которых варьировалась от ближнего до дальнего инфракрасного диапазона.

ТОК АТОМНОГО ОТКЛИКА

В [20—22] представлены основные положения развитого непертурбативного теоретического подхода к описанию отклика одиночного атома на воздействие интенсивного произвольно поляризованного многокомпонентного лазерного поля, который использовался для получения результатов настоящей работы. В рамках данного подхода предложен метод преобразования исходного нестационарного уравнения Шредингера, описывающего динамику изменения волновой функции $(\psi(\vec{r},t))$ валентного электрона в дорелятивистском приближении, в систему уравнений для амплитуд населенностей уровней атома $a_{n,l,m}$.

Динамика амплитуд населенностей уровней атома может быть использована для расчета спектра тока атомного отклика:

$$\begin{split} \vec{J}(t) &= i \sum_{n_{1}, l_{1}, m_{1}, n_{2}, l_{2}, m_{2} n_{3}, l_{3}, m_{3}, n_{4}, l_{4}, m_{4}} a_{n_{1} l_{1} m_{1}}^{*}(t) a_{n_{2} l_{2} m_{2}}(t) \times \\ &\times \frac{\left(E_{n_{3} l_{3}} - E_{n_{4} l_{4}}\right)}{\hbar} \times \\ &\times \left\langle n_{1} l_{1} m_{1} \left| V^{-1} \right| n_{3} l_{3} m_{3} \right\rangle \left\langle n_{3} l_{3} m_{3} \left| \vec{d} \right| n_{4} l_{4} m_{4} \right\rangle \times \\ &\times \left\langle n_{4} l_{4} m_{4} \left| V \right| n_{2} l_{2} m_{2} \right\rangle, \end{split}$$

$$(1)$$

где \vec{d} — оператор дипольного момента, а $E_{n_3l_3}$ — значение энергии уровня атома, соответствующего набору квантовых чисел: n_3 — главное квантовое число, l_3 — орбитальное квантовое число, m_3 — проекция орбитального квантового числа, $\langle n_3 l_3 m_3 | \hat{V} | n_2 l_2 m_2 \rangle$ —

матричные элементы оператора $\hat{V}=\exp\left(-i\frac{q}{\hbar c}\vec{A}\left(t\right)\vec{r}\right)$, связывающего волновые функции — точные решения краевой задачи свободного атома и краевой задачи «об атоме в поле», гамильтониан которой совпадает с гамильтонианом исходного нестационарного уравнения Шредингера [20, 21]. Эти матричные элементы, рассчитанные с использованием ортонормированного базиса водородоподобных волновых функций [23], являются нелинейными функциями параметров лазерного поля. Управляющим параметром является $\mu_0=\frac{eA_0a_B}{\hbar c}$ (A_0 и a_B , соответственно, амплитуда векторного потенциала лазерного излучения и боровский радиус).

Необходимость расчета тока атомного отклика (1) обусловлена тем, что его спектр в дальней зоне совпадает со спектром поля генерируемого излучения [23].

Для расчета системы уравнений для амплитуд населенностей уровней, а также спектра тока атомного отклика необходимо определить модельную структуру уровней атома. В настоящей работе исследовался отклик атома аргона, модельная структура уровней которого описана в [24], которая также

использовалась для изучения генерации ТГц излучения газовой средой в условиях квази-фазового согласования [25].

Проведены исследования генерации ТГц излучения в двухчастотных лазерных полях, образованных лазерных линейно поляризованными компонентами, направления поляризации которых совпадают, при вариации соотношения частот $\begin{pmatrix} \omega_2 \\ \omega_1 \end{pmatrix}$ осцилляций формирующих полей. Для этого фиксировалась часть параметров поля, которое представлялось

в виде $\mu(t) = \mu_{01}e^{-\left(\frac{t-t_{01}}{\tau_1}\right)^2}\cos(\omega_1 t) + \mu_{02}e^{-\left(\frac{t-t_{02}}{\tau_2}\right)^2}\cos(\omega_2 t),$ $(\mu_{01} = 0.1, \mu_{02} = 0.0147, \ t_{02} - t_{01} = 0)$, при этом расчеты проводились для нескольких значений длин волн лазерного источника, длительность импульса была также зафиксирована (в колличествах осцилляций поля $\tau_1 = \tau_2 = 10T_{\lambda}, \ T_{\lambda}$ — период осцилляций поля). Результаты расчетов представлены на рис. 1. Видно, что эффективность генерации ТГц излучения существенно (почти на 2 порядка) возрастает при отклонении частоты второй компоненты двухчастотного поля от величины $\omega_2 = 2\omega_1$, при условии, что модуль разности частоты второй компоненты и удвоенной частоты первой гармоники лазерного источника лежит в ТГц диапазоне. В этом случае. генерируется ТГц излучение на указанной разностной частоте $|\omega_2 - 2\omega_1|$.

Причину генерации на разностной частоте можно продемонстрировать из анализа матричных элементов оператора \hat{V} и тока атомного отклика (1). В слабых лазерных полях преимущественно заселено основное состояние атома [21] (у атома аргона таким состоянием является уровень 3р), поэтому атомный ток (1) имеет вид

$$\begin{split} \vec{J}(t) &\simeq i \sum_{n_3, l_3, m_3, n_4, l_4, m_4} a_{3p}^*(t) a_{3p}(t) \frac{\left(E_{n_3 l_3} - E_{n_4 l_4}\right)}{\hbar} \times \\ &\times \left\langle 3p | V^{-1} | n_3 l_3 m_3 \right\rangle \left\langle n_3 l_3 m_3 | \vec{d} | n_4 l_4 m_4 \right\rangle \left\langle n_4 l_4 m_4 | V | 3p \right\rangle. \end{split}$$

В этом случае наибольший вклад при расчете тока атомного отклика будет давать матричный элемент дипольно-разрешенного перехода 3p-4s:

$$V_{3p4s}(t) = \frac{-442368\sqrt{2}\mu(t)}{(49+144\mu(t)^2)^7} \times (16807 - 98784\mu(t)^2 + 62208\mu(t)^4) \times (91+576\mu(t)^2(-13+36\mu(t)^2)).$$
 (2)

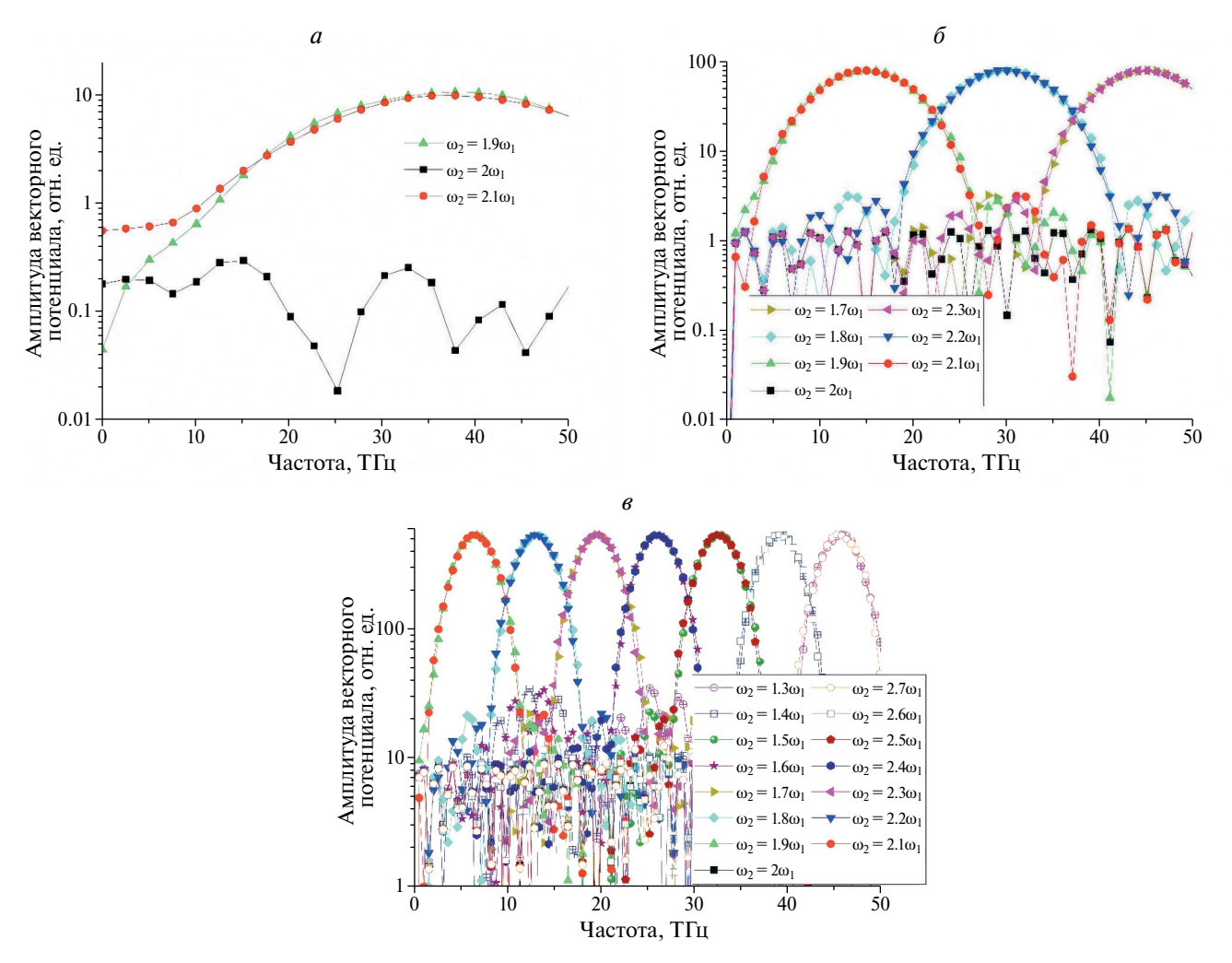


Рис. 1. ТГц части фотоэмиссионных спектров отклика атома аргона, взаимодействующего с двухчастотным лазерным полем, образованным линейно поляризованными первой гармоникой лазерного источника и излучением на заданной частоте, рассчитанная для различных значений соотношений частот компонент поля. Расчет проведен для $\lambda = 800$ нм (а), $\lambda = 2000$ нм (б), $\lambda = 4600$ нм (в). Остальные параметры поля имеют вид $\mu_{01} = 0.1$, $\mu_{02} = 0.0147$, $t_{02} - t_{01} = 0$, $\theta_0 = 0$, $\tau_1 = \tau_2 = 10 T_{\lambda}$.

Положим для простоты $\mu(t) = \mu_{01} \cos(\omega_1 t) + \mu_{02} \cos(\omega_2 t)$. Оператор \hat{V} можно представить в виде следующей суммы:

$$\hat{V} = e^{-i\frac{q}{\hbar c}\vec{A}(t)\vec{r}} = \sum_{n=0}^{\infty} \frac{(-i)^n}{n!} \left(\frac{q\vec{A}\vec{r}}{\hbar c} \right)^n.$$

Рассчитаем матричные элементы $\langle 3s | r^n | 4p \rangle$ и получим следующее выражение для (2):

$$V_{3p4s}(t) = \sum_{n=0}^{\infty} \frac{i(-1 + (-1)^n)(-i\mu(t))^n}{31104\sqrt{2}(2+n)n!} \times 2^{15+2n}3^{6+n}7^{-8-n}(-91 + n(277 + 9n(29 + n(9+2n))))\Gamma(4+n).$$
(3)

Подставив явный вид $\mu(t)$, проведем суммирование первых 9 слагаемых (3) и выделим отдельно часть матричного элемента на частоте $|\omega_2 - 2\omega_1|$:

$$\begin{split} V_{3p4s} \approx & -1.42 \cdot 10^{-5} \, \mu_{01}^2 \mu_{02} \cdot (-8\,084\,167 + 514\,982\,160 \mu_{02}^2 + \\ & + \, 480(167\,203\,440 \mu_{01}^6 + 270 \mu_{02}^4 (-99\,911 + 1548\,180 \mu_{02}^2) + \\ & + \, 135 \mu_{01}^4 (-99\,911 + 9\,495\,504 \mu_{02}^2) + \mu_{01}^2 (715\,253 + \\ & + \, 540 \mu_{02}^2 (-99\,911 + 3\,096\,360 \mu_{02}^2)))) \cos \left(\omega_2 - 2\omega_1\right) t + \\ & + \, B_1 \cos \left(3\omega_2 - 6\omega_1\right) t + B_2 \cos \left(2\omega_2 - 3\omega_1\right) t + B_3 \cos \omega_0 t + \dots \end{split}$$

Видно, что излучение на частоте $|\omega_2-2\omega_1|$ существует в фотоэмиссионных спектрах отклика атома при любых ненулевых значениях μ_1 и μ_2 . Легко показать, что и спектр суммарного тока атомного отклика также будет иметь компоненту на данной частоте.

Проведенные исследования для серии длин волн лазерного источника при фиксированном значении соотношения частот $\omega_2/\omega_1 = 1.9$ демонстрируют, что амплитуда генерируемого ТГц излучения линейно

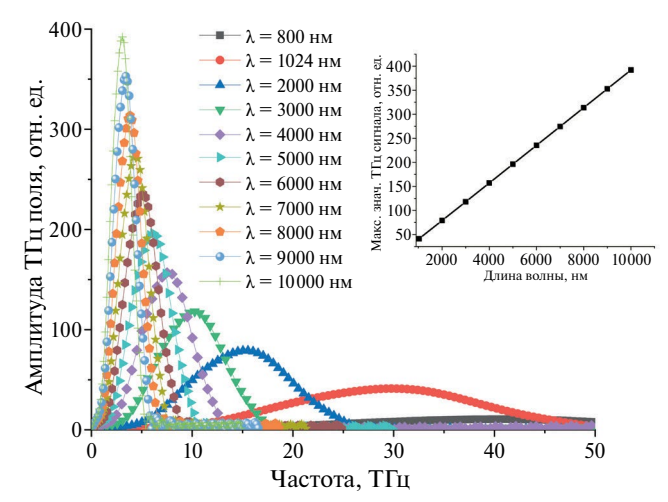


Рис. 2. Первый пик ТГц части фотоэмиссионных спектров отклика атома аргона, взаимодействующего с двухчастотным лазерным полем, образованным линейно поляризованными первой гармоникой лазерного источника и излучением на заданной частоте, рассчитанный для $\frac{\omega_2}{\omega_1} = 1.9$ и нескольких значений длин волн. Остальные параметры поля имеют вид: $\mu_{01} = 0.1$, $\mu_{02} = 0.0147$, $t_{02} - t_{01} = 0$, $\theta_0 = 0$, $\tau_1 = \tau_2 = 10 T_{\lambda}$. Вставка: зависимость максимальной величины первого пика ТГц излучения от длины волны.

возрастает при увеличении длины волны лазерного источника (см. рис. 2). При этом, спектральная ширина импульса ТГц излучения уменьшается с возрастанием длины волны излучения. Это связано с увеличением длительности импульса возаимодействующего поля при возрастании длины волны (поскольку в численных расчетах она определялась через период осцилляций поля (см. выше). Таким образом, источники длинноволнового излучения [26] могут быть удобными с точки зрения создания мощных перестраеваемых по частоте ТГц импульсов. Действительно, благодаря малой частоте излучения область вариации соотношения частот $\frac{\omega_2}{\omega_1}$, при которой модуль разности частоты второй компоненты и удвоенной частоты первой гармоники лазерного источника лежит в ТГц диапазоне, увеличивается (см. рис. 1в), что позволяет подстроить соотношение частот для генерации требуемого излучения с увеличенной (по сравнению с более коротковолновыми источниками) амплитудой.

ЗАКЛЮЧЕНИЕ

Таким образом, представлены результаты исследования генерации ТГц излучения в двухчастотных лазерных полях, образованных линейно поляризованными компонентами, направления поляризации которых совпадают, при вариации отношения частот осцилляций полей $\binom{\omega_2}{\omega_1}$. Продемонстрирована эффективная генерация излучения на разностной

частоте $|\omega_2-2\omega_1|$, которая позволяет увеличить амплитудные значения ТГц излучения (если указанная разность частот соответствует ТГц диапазону) на несколько порядков по сравнению с традиционно используемыми двухчастотными лазерными полями, образованными первой и второй гармониками лазерного источника. Показано, что эффективность генерации ТГц излучения линейно возрастает с увеличением длины волны лазерного источника. Таким образом, продемонстрированы преимущества использования фемтосекундных источников длинноволнового излучения для генерации импульсов ТГц диапазона как с точки зрения увеличения эффективности генерации, так и с точки зрения расширения спектра генерируемого излучения.

СПИСОК ЛИТЕРАТУРЫ

- Horvat J., Lewis R.A. // Optics Lett. 2009. V. 34. No. 14. P. 2195.
- Knyazev B.A., Kulipanov G.N., Vinokurov N.A. // Meas. Sci. Technol. 2010. V. 21. No. 5. Art. No. 054017.
- 3. *Byrd J. M., Leemans W.P., Loftsdottir A. et al.* // Phys. Rev. Lett. 2002. V. 89. No. 22. Art. No. 224801.
- 4. *Pérez S., González T., Pardo D., Mateos J.* // J. Appl. Phys. 2008. V. 103. No. 9. Art. No. 094516.
- Ozyuzer L., Koshelev A.E., Kurter C. et al. // Science. 2007. V. 318. No. 5854. P. 1291.
- 6. Williams B.S. // Proc. ACP. 2008. Art. No. SuG3.
- 7. Kim K.Y., Taylor A.J., Glownia J.H., Rodriguez G. // Nature Photonics. 2008. V. 2. No. 10. P. 605.
- 8. *Dai J., Karpowicz N., Zhang X.C.* // Phys. Rev. Lett. 2009. V. 103. Art. No. 023001.
- 9. *Clerici M., Peccianti M., Schmidt B.E. et al.* // Phys. Rev. Lett. 2013. V. 110. No. 25. Art. No. 253901.
- Cook D.J., Hochstrasser R.M. // Optics Lett. 2000.
 V. 25. No. 16. P. 1210.
- 11. *Xie X.*, *Dai J.*, *Zhang X.C.* // Phys. Rev. Lett. 2006. V. 96. No. 7. Art. No. 075005.
- 12. *Wang W., Gibbon M.P., Sheng Z.-M., Li Y.-T.* // Phys. Rev. Lett. 2015. V. 114. No. 25. Art. No. 253901.
- Andreev A.V., Angeluts A.A., Balakin A.V. et al. // IEEE Trans. Ter. Sci. Technol. 2020. V. 10. No. 1. P. 85.
- 14. Lambert G., Vodungbo B., Gautier J. et al. // Nature Commun. 2015. V. 6. P. 6167.
- 15. *Wang W.M., Li Y.-T., Sheng Z.-M. et al.* // Phys. Rev. E. 2013. V. 87. No. 3. Art. No. 033108.
- 16. *Zhang L.L., Wang W.-M., Wu T. et al.* // Phys. Rev. Lett. 2017. V. 119. No. 23. P. 235001.
- 17. *Wang W.M.*, *Sheng Z.-M.*, *Li Y.-T. et al.* // Phys. Rev. A. 2017. V. 96. No. 2. Art. No. 023844.

- 18. Kostin V.A., Laryushin I.D., Silaev A.A., Vvedenskii N.V. // Phys. Rev. Lett. 2016. V. 117. No. 3. Art. No. 035003.
- Zhou Z., Iv Z., Zhang D. et al. // Phys. Rev. A. 2020.
 V. 101. No. 4. Art. No. 043422.
- 20. Andreev A.V., Stremoukhov S.Yu., Shoutova O.A. // Eur. Phys. J. D. 2012. V. 66. P. 16.
- Stremoukhov S., Andreev A., Vodungbo B. et al. // Phys. Rev. A. 2016. V. 94. Art. No. 013855.
- 22. Stremoukhov S. Yu. // Bull. Russ. Acad. Sci. Phys. 2024. V. 88. No. 1. P. 38.
- 23. *Ландау Л.Д., Лифшиц Е.М.* Теоретическая физика. Т. 3. Квантовая механика (нерелятивистская теория). М.: Физматлит, 2020.
- 24. *Andreev A.V., Stremoukhov S.Yu.* // Phys. Rev. A. 2013. V. 87. Art. No. 053416.
- 25. *Стремоухов С.Ю.* // Изв. РАН. Сер. физ. 2022. T. 86. № 6. С. 770; *Stremoukhov S.Yu.* // Bull. Russ. Acad. Sci. Phys. 2022. V. 86. No. 6. P. 646.
- 26. Migal E., Pushkin A., Bravy B. et al. // Optics Lett. 2019. V. 44. P. 2550.

Generation of Terahertz Radiation by Atomic Systems at Different Ratios of Frequencies between Components of Interacting Two-Color Laser Fields

S. Yu. Stremoukhov^{1, 2, *}

¹Lomonosov Moscow State University, Faculty of Physics, Moscow, 119991, Russia ²National Research Centre "Kurchatov Institute", Moscow, 123182, Russia *e-mail: sustrem@gmail.com

The generation of terahertz radiation by atomic systems interacting with femtosecond two-color laser fields $(\omega_1+\omega_2)$ formed by the fundamental harmonic of a laser source (ω_1) and radiation with frequencies varying over a wide range (ω_2) is studied. It is shown that the efficiency of the generation of terahertz radiation grows when ratio ${\omega_2/\choose \omega_1}$ of frequencies between components of the two-color field is close but not equal to 2, and difference $|\omega_2-2\omega_1|$ corresponds to the terahertz range. A numerical experiment is performed using laser sources with wavelengths from the near- to far-infrared range.